

Starkniederschlagshöhen und -spenden gemäß KOSTRA-DWD-2010R

Auswertungszeitraum von 1951 - 2010, Januar - Dezember

Rasterfeld: 31016

Zeile: 31

Spalte: 16

Seite: 1/2

| Dauerstufe D | | Wiederkehrzeit T | | | | | | | | | | | | | | | | | |
|--------------|-----|------------------|------------|------|------------|------|------------|------|------------|------|------------|------|------------|------|------------|-------|------------|-------|------------|
| | | 1 a | | 2 a | | 3 a | | 5 a | | 10 a | | 20 a | | 30 a | | 50 a | | 100 a | |
| min | Std | mm | l / (s ha) | mm | l / (s ha) | mm | l / (s ha) | mm | l / (s ha) | mm | l / (s ha) | mm | l / (s ha) | mm | l / (s ha) | mm | l / (s ha) | mm | l / (s ha) |
| 5 | | 5,3 | 176,7 | 7,4 | 246,7 | 8,6 | 286,7 | 10,2 | 340,0 | 12,3 | 410,0 | 14,4 | 480,0 | 15,7 | 523,3 | 17,2 | 573,3 | 19,3 | 643,3 |
| 10 | | 8,2 | 136,7 | 10,9 | 181,7 | 12,5 | 208,3 | 14,5 | 241,7 | 17,2 | 286,7 | 20,0 | 333,3 | 21,6 | 360,0 | 23,6 | 393,3 | 26,3 | 438,3 |
| 15 | | 10,1 | 112,2 | 13,2 | 146,7 | 15,1 | 167,8 | 17,4 | 193,3 | 20,5 | 227,8 | 23,7 | 263,3 | 25,5 | 283,3 | 27,9 | 310,0 | 31,0 | 344,4 |
| 20 | | 11,4 | 95,0 | 14,9 | 124,2 | 16,9 | 140,8 | 19,5 | 162,5 | 23,0 | 191,7 | 26,5 | 220,8 | 28,5 | 237,5 | 31,1 | 259,2 | 34,6 | 288,3 |
| 30 | | 13,1 | 72,8 | 17,1 | 95,0 | 19,5 | 108,3 | 22,5 | 125,0 | 26,5 | 147,2 | 30,5 | 169,4 | 32,9 | 182,8 | 35,9 | 199,4 | 39,9 | 221,7 |
| 45 | | 14,6 | 54,1 | 19,2 | 71,1 | 22,0 | 81,5 | 25,4 | 94,1 | 30,1 | 111,5 | 34,7 | 128,5 | 37,5 | 138,9 | 40,9 | 151,5 | 45,6 | 168,9 |
| 60 | | 15,4 | 42,8 | 20,6 | 57,2 | 23,6 | 65,6 | 27,4 | 76,1 | 32,6 | 90,6 | 37,8 | 105,0 | 40,8 | 113,3 | 44,6 | 123,9 | 49,8 | 138,3 |
| 90 | | 16,8 | 31,1 | 22,3 | 41,3 | 25,6 | 47,4 | 29,7 | 55,0 | 35,2 | 65,2 | 40,8 | 75,6 | 44,0 | 81,5 | 48,1 | 89,1 | 53,7 | 99,4 |
| 120 | 2 | 17,8 | 24,7 | 23,7 | 32,9 | 27,1 | 37,6 | 31,4 | 43,6 | 37,2 | 51,7 | 43,1 | 59,9 | 46,5 | 64,6 | 50,8 | 70,6 | 56,6 | 78,6 |
| 180 | 3 | 19,4 | 18,0 | 25,7 | 23,8 | 29,3 | 27,1 | 34,0 | 31,5 | 40,2 | 37,2 | 46,5 | 43,1 | 50,2 | 46,5 | 54,8 | 50,7 | 61,1 | 56,6 |
| 240 | 4 | 20,6 | 14,3 | 27,2 | 18,9 | 31,1 | 21,6 | 35,9 | 24,9 | 42,5 | 29,5 | 49,1 | 34,1 | 53,0 | 36,8 | 57,8 | 40,1 | 64,4 | 44,7 |
| 360 | 6 | 22,5 | 10,4 | 29,5 | 13,7 | 33,7 | 15,6 | 38,9 | 18,0 | 46,0 | 21,3 | 53,0 | 24,5 | 57,2 | 26,5 | 62,4 | 28,9 | 69,5 | 32,2 |
| 540 | 9 | 24,5 | 7,6 | 32,1 | 9,9 | 36,5 | 11,3 | 42,1 | 13,0 | 49,7 | 15,3 | 57,3 | 17,7 | 61,7 | 19,0 | 67,3 | 20,8 | 74,9 | 23,1 |
| 720 | 12 | 26,0 | 6,0 | 34,0 | 7,9 | 38,7 | 9,0 | 44,5 | 10,3 | 52,5 | 12,2 | 60,5 | 14,0 | 65,2 | 15,1 | 71,0 | 16,4 | 79,0 | 18,3 |
| 1080 | 18 | 28,3 | 4,4 | 36,9 | 5,7 | 41,9 | 6,5 | 48,2 | 7,4 | 56,8 | 8,8 | 65,3 | 10,1 | 70,3 | 10,8 | 76,6 | 11,8 | 85,2 | 13,1 |
| 1440 | 24 | 30,1 | 3,5 | 39,1 | 4,5 | 44,4 | 5,1 | 51,0 | 5,9 | 60,0 | 6,9 | 69,0 | 8,0 | 74,3 | 8,6 | 80,9 | 9,4 | 89,9 | 10,4 |
| 2880 | 48 | 38,4 | 2,2 | 48,0 | 2,8 | 53,6 | 3,1 | 60,7 | 3,5 | 70,3 | 4,1 | 79,9 | 4,6 | 85,5 | 4,9 | 92,5 | 5,4 | 102,1 | 5,9 |
| 4320 | 72 | 44,3 | 1,7 | 54,2 | 2,1 | 60,0 | 2,3 | 67,4 | 2,6 | 77,3 | 3,0 | 87,2 | 3,4 | 93,0 | 3,6 | 100,4 | 3,9 | 110,3 | 4,3 |

Angaben in mm: Bemessungsniederschlagswerte h(n)

Angaben in l / (s ha): Regenspende R(n) mit $R(n) = h(n) \times 1,666667 / D[\text{min}]$

Toleranzbereiche:

+/- 10 % für $1 a \leq T \leq 5 a$

+/- 15 % für $5 a < T \leq 50 a$

+/- 20 % für $50 a < T \leq 100 a$

Datenbasis: KOSTRA-DWD-2010R des Deutschen Wetterdienstes. Die Regenspende wurde auf Basis des Bemessungsniederschlags zur jeweiligen Andauer berechnet.

Für die Richtigkeit und Aktualität der Angaben wird keine Gewähr übernommen. Erstellt 07/2022.

Starkniederschlagshöhen und -spenden gemäß KOSTRA-DWD-2010R

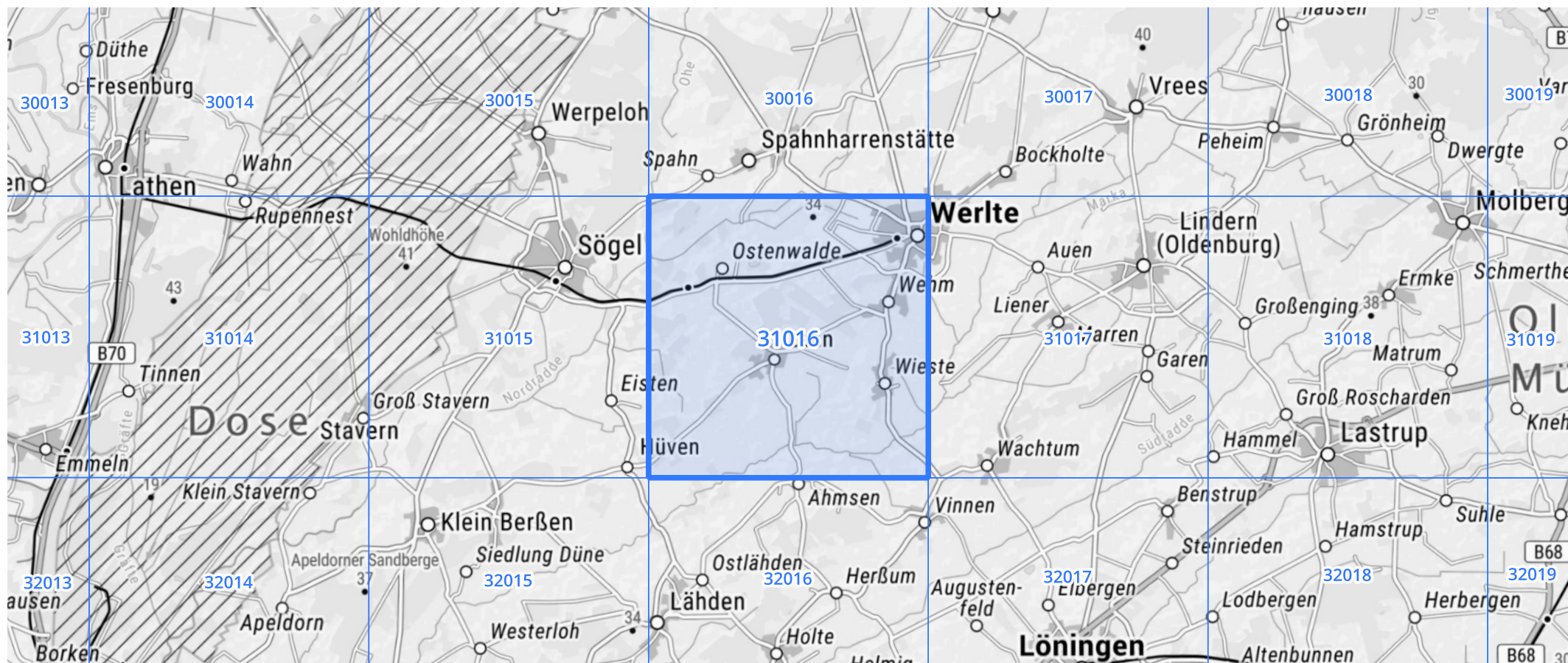
Auswertungszeitraum von 1951 - 2010, Januar - Dezember

Rasterfeld: 31016

Zeile: 31

Spalte: 16

Seite: 2/2



Quelle Rasterdaten: KOSTRA-DWD-2010R des Deutschen Wetterdienstes.

Kartendarstellung: © Bundesamt für Kartographie und Geodäsie (2022), Datenquellen: https://sgx.geodatenzentrum.de/web_public/gdz/datenquellen/Datenquellen_TopPlusOpen.html

Für die Richtigkeit und Aktualität der Angaben wird keine Gewähr übernommen. Erstellt 07/2022.